

(19) 日本国特許庁(JP)

## (12) 公表特許公報(A)

(11) 特許出願公表番号

特表2009-527196

(P2009-527196A)

(43) 公表日 平成21年7月23日(2009.7.23)

(51) Int.Cl.

<b>H04N</b>	<b>1/46</b>	<b>(2006.01)</b>
<b>H04N</b>	<b>1/60</b>	<b>(2006.01)</b>
<b>G06T</b>	<b>1/00</b>	<b>(2006.01)</b>

F 1

HO 4 N	1/46	Z
HO 4 N	1/40	D
GO 6 T	1/00	5 1 O

テーマコード(参考)

5 B 0 5 7
5 C 0 7 7
5 C 0 7 9

審査請求 未請求 予備審査請求 未請求 (全 28 頁)

(21) 出願番号 特願2008-555319 (P2008-555319)  
 (86) (22) 出願日 平成19年2月12日 (2007.2.12)  
 (85) 翻訳文提出日 平成20年8月6日 (2008.8.6)  
 (86) 國際出願番号 PCT/US2007/003871  
 (87) 國際公開番号 WO2007/095274  
 (87) 國際公開日 平成19年8月23日 (2007.8.23)  
 (31) 優先権主張番号 11/354,482  
 (32) 優先日 平成18年2月15日 (2006.2.15)  
 (33) 優先権主張国 米国(US)

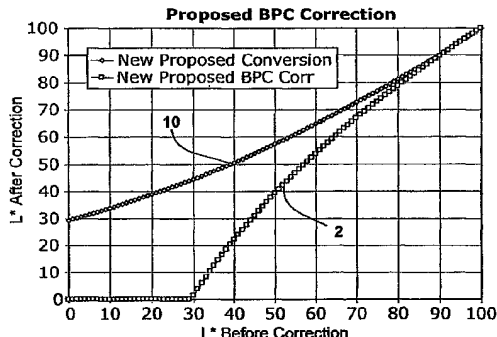
(71) 出願人 590000846  
 イーストマン コダック カンパニー  
 アメリカ合衆国 ニューヨーク州 ロチェ  
 スター ステート ストリート 343  
 (74) 代理人 100075258  
 弁理士 吉田 研二  
 (74) 代理人 100096976  
 弁理士 石田 純  
 (72) 発明者 エッジ クリストファー ジェイ  
 アメリカ合衆国 ミネソタ セントポール  
 ジェファーソン アベニュー 1890  
 F ターム(参考) 5B057 AA11 CA01 CA08 CA12 CA16  
 CB01 CB08 CB12 CB16 CE18  
 CH07

最終頁に続く

(54) 【発明の名称】黒点補償を伴う色域マッピング

## (57) 【要約】

本願は、改良された黒点補償(BPC)を伴う色域マッピングのための技術に関する。この色域マッピング技術により、十分に分散された色調圧縮を促進し、ハイライト領域とシャドウ領域における細部の実質的な損失を防止することができる。この色域マッピング技術は、RGB写真等の鮮明な、飽和した画像を、一般的な新聞印刷等のはるかに彩度の低い出力として実現するために変換するのに特に有益であろう。他の応用例としては、CMYK枚葉オフセット印刷仕様(SWOP)のCMYKでのNewsprint Advertising Production仕様(SNAP)による新聞印刷への変換や、カメラプロファイリングソフトウェアによるRGB写真からあらゆる種類の印刷のためのCMYKへの変換等がある。



**【特許請求の範囲】****【請求項 1】**

第一の色域から第二の色域に色値を変換する方法であって、  
 第一の色域における第一の装置非依存色値を得るステップと、  
 前記第一の装置非依存色値に非線形色調圧縮マッピングを適用して、前記第二の色域における第二の装置依存色値を生成するステップと、  
 を含むことを特徴とする方法。

**【請求項 2】**

請求項 1 に記載の方法であって、  
 非線形色調圧縮マッピングを適用するステップは、  
 第一の色調範囲に対応する装置非依存色値に黒点補正オフセットを適用するステップと、  
 第二の色調範囲に対応する装置非依存色値に約 1 の勾配での色調圧縮マッピングを適用するステップと、  
 を含むことを特徴とする方法。

**【請求項 3】**

請求項 2 に記載の方法であって、  
 前記黒点補正オフセットは固定オフセットであることを特徴とする方法。

**【請求項 4】**

請求項 2 に記載の方法であって、  
 非線形色調圧縮マッピングを適用するステップは、前記第一と第二の色調範囲を含む色調範囲全体を通じて変動色調圧縮を適用するステップを含むことを特徴とする方法。

**【請求項 5】**

請求項 3 に記載の方法であって、  
 前記変動色調圧縮の量は、前記第一の色調範囲から前記第二の色調範囲に向かって徐々に増加することを特徴とする方法。

**【請求項 6】**

請求項 2 に記載の方法であって、  
 前記第一の色調範囲はシャドウトーンに略対応し、前記第二の色調範囲はハイライトトーンに略対応することを特徴とする方法。

**【請求項 7】**

請求項 2 に記載の方法であって、さらに、  
 数学的関数に基づく色調圧縮マッピングを適用するステップを含むことを特徴とする方法。

**【請求項 8】**

請求項 1 に記載の方法であって、  
 前記非線形色調圧縮マッピングを適用するステップは、以下の表現を前記色値に適用するステップを含むことを特徴とする方法。

$$f(x) = BPC + (1 - BPC)x - BPCx(1 - x),$$

$$f(x) = BPCx^2 + (1 - 2BPC)x + BPC$$

ただし、 $x$  は色値であり、 $BPC$  は黒点補正オフセットである。

**【請求項 9】**

請求項 1 に記載の方法であって、さらに、  
 前記色値を知覚的赤、緑、青 (RGB) 色空間に変換するステップと、前記変換された色値に前記非線形色調圧縮マッピングを適用するステップを含むことを特徴とする方法。

**【請求項 10】**

請求項 9 に記載の方法であって、  
 前記知覚的 RGB 色空間のガンマは約 1.5 から 3.0 の範囲であることを特徴とする方法。

**【請求項 11】**

10

20

30

40

50

請求項 1 に記載の方法であって、

前記第一の色域は赤、緑、青（RGB）色域であり、前記第二の色域はシアン、マゼンタ、黄、黒（CMYK）色域であることを特徴とする方法。

【請求項 1 2】

請求項 1 に記載の方法であって、

前記色域は赤、緑、青（RGB）装置に関連付けられ、前記第二の色域はシアン、マゼンタ、黄、黒（CMYK）新聞印刷機に関連付けられていることを特徴とする方法。

【請求項 1 3】

請求項 1 に記載の方法であって、

前記第一の色域はシアン、マゼンタ、黄、黒（CMYK）枚葉オフセット印刷仕様（SWOP）の画像装置に関連付けられ、前記第二の色域はNewsprint Advertising Production仕様（SNAP）の画像装置に関連付けられることを特徴とする方法。 10

【請求項 1 4】

第一の色域から第二の色域に色値をマッピングするためのシステムであって、

前記システムは、

第一の色域における第一の装置非依存色値を取得し、

前記第一の装置非依存色値に非線形色調圧縮マッピングを適用して、前記第二の色域における第二の装置依存色値を生成する

ようにプログラムされたプロセッサを備えることを特徴とするシステム。 20

【請求項 1 5】

請求項 1 4 に記載のシステムであって、

前記非線形色調圧縮マッピングは、第一の色調範囲に対応する装置非依存色値のための黒点補正オフセットと、第二の色調範囲に対応する装置非依存色値のための約 1 の勾配の色調圧縮マッピングを含むことを特徴とするシステム。

【請求項 1 6】

請求項 1 5 に記載のシステムであって、

前記黒点補正オフセットは固定オフセットであることを特徴とするシステム。

【請求項 1 7】

請求項 1 5 に記載のシステムであって、

前記非線形色調圧縮マッピングは、前記第一と第二の色調範囲を含む色調範囲を通じて変動色調圧縮を含むことを特徴とするシステム。 30

【請求項 1 8】

請求項 1 7 に記載のシステムであって、

前記変動色調圧縮の量は、前記第一の色調範囲から前記第二の色調範囲に徐々に増加することを特徴とするシステム。

【請求項 1 9】

請求項 1 5 に記載のシステムであって、

前記第一の色調範囲はシャドウトーンに略対応し、前記第二の色調範囲はハイライトトーンに略対応することを特徴とするシステム。 40

【請求項 2 0】

請求項 1 5 に記載のシステムであって、

前記プロセッサは数学的関数にしたがって色調圧縮マッピングを適用することを特徴とするシステム。

【請求項 2 1】

請求項 1 4 に記載のシステムであって、

前記非線形色調圧縮マッピングは、前記色値への下式の適用を含むことを特徴とするシステム。

$$f(x) = BPC + (1 - BPC)x - BPCx(1 - x),$$

$$f(x) = BPCx^2 + (1 - 2BPC)x + BPC$$

10

20

30

40

50

ただし、 $x$ は色値であり、BPCは黒点補正オフセットである。

**【請求項 2 2】**

請求項14に記載のシステムであって、

前記プロセッサは前記色値を知覚的赤、緑、青（RGB）色空間に変換し、前記変換された色値に前記非線形色調圧縮マッピングを適用することを特徴とするシステム。

**【請求項 2 3】**

請求項22に記載のシステムであって、

前記知覚的RGB色空間のガンマは約1.5から3.0の範囲であることを特徴とするシステム。

**【請求項 2 4】**

請求項14に記載のシステムであって、  
前記第一の色域は赤、緑、青（RGB）色域であり、前記第二の色域はシアン、マゼンタ、黄、黒（CMYK）色域であることを特徴とするシステム。

**【請求項 2 5】**

請求項14に記載のシステムであって、  
前記第一の色域は赤、緑、青（RGB）装置に関連付けられ、前記第二の色域はシアン、マゼンタ、黄、黒（CMYK）新聞印刷機に関連付けられることを特徴とするシステム。

**【請求項 2 6】**

請求項14に記載のシステムであって、  
前記第一の色域はシアン、マゼンタ、黄、黒（CMYK）枚葉オフセット印刷仕様（SWOP）の画像装置に関連付けられ、前記第二の色域は、Newsprint Advertising Production仕様（SNAP）の画像装置に関連付けられることを特徴とするシステム。

**【請求項 2 7】**

プロセッサに、  
第一の色域における第一の装置非依存色値を取得させ、  
前記第一の装置非依存色値に非線形色調圧縮マッピングを適用して、前記第二の色域における第二の装置依存色値を生成させる  
命令を含むコンピュータ読取可能媒体。

**【請求項 2 8】**

請求項27に記載のコンピュータ読取可能媒体であって、  
前記非線形色調圧縮マッピングの適用は、第一の色調範囲に対応する装置非依存色値への黒点補正オフセットの適用と、第二の色調範囲に対応する装置非依存色値への約1の勾配での色調圧縮マッピングの適用を含むことを特徴とするコンピュータ読取可能媒体。

**【請求項 2 9】**

請求項28に記載のコンピュータ読取可能媒体であって、  
前記黒点補正オフセットは固定オフセットであることを特徴とするコンピュータ読取可能媒体。

**【請求項 3 0】**

請求項28に記載のコンピュータ読取可能媒体であって、  
前記非線形色調圧縮マッピングの適用は、前記第一と第二の色調範囲を含む色調範囲を通じた変化する色調圧縮の適用を含み、前記変化する色調圧縮の量は、前記第一の範囲から前記第二の色調範囲に向かって徐々に増加することを特徴とするコンピュータ読取可能媒体。

**【請求項 3 1】**

請求項28に記載のコンピュータ読取可能媒体であって、  
前記第一の色調範囲はシャドウトーンに略対応し、前記第二の色調範囲はハイライトトーンに略対応することを特徴とするコンピュータ読取可能媒体。

**【請求項 3 2】**

10

20

30

40

50

請求項 2 7 に記載のコンピュータ読取可能媒体であって、前記非線形色調圧縮マッピングの適用は、前記色値への下式の適用を含むことを特徴とするコンピュータ読取可能媒体。

$$f(x) = BPC + (1 - BPC)x - BPCx(1 - x),$$

$$f(x) = BPCx^2 + (1 - 2BPC)x + BPC$$

ただし、 $x$  は色値であり、 $BPC$  は黒点補正オフセットである。

### 【請求項 3 3】

請求項 2 7 に記載のコンピュータ読取可能媒体であって、前記命令は、プロセッサに前記色値を知覚的赤、緑、青 (RGB) 色空間に変換させ、前記非線形色調圧縮マッピングを前記変換された色値に適用させ、前記知覚的 RGB 色空間のガンマは約 1 であることを特徴とするコンピュータ読取可能媒体。  
10

### 【請求項 3 4】

請求項 2 7 に記載のコンピュータ読取可能媒体であって、前記第一の色域は赤、緑、青 (RGB) 色域であり、前記第二の色域はシアン、マゼンタ、黄、黒 (CMYK) 色域であることを特徴とするコンピュータ読取可能媒体。

### 【発明の詳細な説明】

#### 【技術分野】

#### 【0001】

本発明は、カラーイメージングに関し、より詳しくは、色域マッピングの技法に関する。  
20

#### 【背景技術】

#### 【0002】

色域とは、画像装置により再現可能な色の範囲をいう。各種の画像装置は、それぞれ異なる色域を実現する。たとえば、画像装置の中には他の装置より広い範囲の色を再現できるものがある。あるいは、色空間のうちの 1 つまたは複数の領域において、より広い範囲を再現できる画像装置もある。色域の違いは、同じ色空間または異なる色空間で動作する装置の間で発生することがある。たとえば、シアン・マゼンタ・黄・黒 (CMYK) に基づく各種装置は、それぞれ異なる CMYK 色域を実現するかもしれない。同様に、赤・緑・青 (RGB) と CMYK の装置に関連する色域は、相互に異なるかもしれない。カラー画像データは一般に、たとえば国際カラーコンソーシアム (ICC) のプロファイル等、異なる画像装置の測色応答 (colorimetric response) を定義するカラープロファイルを使って変換される。  
30

#### 【0003】

色域の違いにより、ある画像装置から得たカラー画像データを別の画像装置で出力するためにマッピングする際に注意が必要となる。色域の違いは特に、画像の中のより暗い領域において顕著となりうる。たとえば、2 つの異なる画像装置では、黒点、つまり、装置によって再現可能な最も暗い色値が大きく異なる。黒点補償 (BPC) は、色域マッピングを実行するために画像の相対的測色変換に関連して使用できる技術である。BPC 技術では通常、XYZ または線形 RGB 空間ににおける測色値の黒の階調度 (black scaling) を調整して、あるシステム、たとえば RGB の黒点を、別のシステム、たとえば CMYK の黒点にマッピングする。画像の色調範囲は、その画像の白点と黒点との間の中間的なグレー値の数によって決まる。黒点マッチング技術は、変換元 (source) の黒点と変換先 (destination) の黒点を評価し、補正を加え、好ましくない視覚的効果を回避するものである。  
40

#### 【発明の開示】

#### 【課題を解決するための手段】

#### 【0004】

一般に、本発明は改良された黒点補償 (BPC) を伴う色域マッピングのための技術に関する。この改良された色域マッピング技術では、第一の色域における第一の装置非依存 (device-independent) の色値に非線形色調 (tone) 圧縮マッピングを適用して、第二の色域における第二の装置依存 (device-dependent) の色値を生成する。非線形色調圧縮マッピング

グにより、ハイライトトーンからシャドウトーンに向かって色調圧縮が徐々に増し、ハイライトトーンに対して行われる補正は、それが最大値に近づいたときに最も小さくなる。非線形色調圧縮マッピングは、たとえば、RGB空間のガンマが約1.5から3.0の範囲内にある、合理的に知覚的なRGB色空間を前提とする。

#### 【0005】

本願に記載の色域マッピング技法は、十分に分散された色調圧縮を促進し、ハイライト領域とシャドウ領域の実質的な細部の損失を回避する。このような改良された黒点補償を伴う色域マッピング技法は、RGB写真(RGB photograph)等の鮮やかな、飽和した(高彩度の)(saturated)画像を新聞印刷等のはるかに彩度の低い(less saturated)出力として表現するために変換する場合に特に有益であろう。また別の応用分野としては、CMYKの枚葉オフセット印刷仕様(SWOP:Specification of Web Offset Printing)による印刷からCMYKのNewsprint Advertising Production仕様(SNAP:Specification of New Advertising Production)による新聞印刷への変換や、カメラプロファイリングソフトウェアによるRGB写真からあらゆる種類の印刷のためのCMYKへの変換がある。

10

#### 【0006】

ある実施例で本発明は第一の色域から第二の色域に色値をマッピングする方法を提供し、この方法は、第一の色域における第一の装置非依存色値を取得するステップと、第一の装置非依存色値に非線形色調圧縮を適用して、第二の色域における第二の装置依存色値を生成するステップを含む。本発明はまた、プロセッサにこのような方法を実行させる命令を含むコンピュータ読取可能媒体も提案する。

20

#### 【0007】

別の実施例で本発明は第一の色域から第二の色域への色値のマッピングを行うためのシステムを提供し、このシステムは、第一の色域における第一の装置非依存色値を取得し、第一の装置非依存色値に非線形色調圧縮マッピングを適用して、第二の色域における第二の装置依存色値を生成するようにプログラムされたプロセッサを備える。

20

#### 【0008】

各種の実施例において、本発明によれば1つまたは複数の利点が得られる。たとえば、本願に記載の色域マッピング方式は、シャドウ領域の細部の実質的損失を発生させずに、黒点補償を実現することができる。この方式はそれほど複雑ではなく、通常は手作業による介入を必要とせずに、所望の黒点補償を達成できる。さらに、この方式では、RGB入力をCMYK出力に変換するために最大限にグレー置換(GCR)を用い、その一方で、シャドウ領域の細部の損失を制限することが可能となる。この方式によれば、黒点補償によって生じる飽和したカラー画像のアーチファクトを削減または排除することもできる。また、この方式は、最適な色域マッピングを行うために彩度の低い画像システムの色域を拡張する際の、色域の境界の大きな歪みを削減または排除できる。

30

#### 【0009】

本発明の1つまたは複数の実施例の詳細を、添付の図面と以下の説明に示す。本発明の他の特徴と利点は、説明と図面および特許請求範囲から明らかとなる。

#### 【発明を実施するための最良の形態】

40

#### 【0010】

各種の実施例において本発明は、黒点補償(BPC)を伴う色域マッピングの方式に関する。色域マッピング方式により、十文に分散されたトーン圧縮を促進し、ハイライトおよびシャドウ領域において細部が実質的に失われるのを回避することができる。この色域マッピング方式は、RGB写真等の鮮明な飽和した画像を、一般的な新聞紙等のより彩度の低い出力として表示するために変換する際に特に有益であろう。また別の応用分野としては、CMYKの枚葉オフセット印刷仕様(SWOP)による印刷からCMYKのNewsprint Advertising Production仕様(SNAP)による新聞印刷への変換や、カメラプロファイリングソフトウェアによるRGB写真からあらゆる種類の印刷のためのCMYKへの変換がある。

50

## 【0011】

従来のBPC技術は、1つの色空間の黒点（たとえば、Adobe RGB 98のRGB = 0）を別の色空間の黒点（たとえば、SWOP CMYKのK = 100%またはCMYK（total）= 320%）にスケーリングしようとするものであった。しかしながら、従来のBPC技術はその後、シャドウトーンにおいて過剰な圧縮を行うため、シャドウの細部が実質的に失われる。本発明の1つの実施例による改良されたBPC方式を用いれば、よりよく分散された色調補償を行いながら1つの色空間の黒点を別の色空間の黒点にマッピングし、ハイライトおよびシャドウトーンにおける細部の実質的な損失を減少させることができる。限定的でない1つの例として、本発明を、RGB画像からCMYK新聞印刷等の低濃度の色規格への変換に応用し、シャドウ領域の細部の損失を低減した容認可能な色再現を実現する場合に関して説明する。しかしながら、本発明は、より小さな色域からより大きな色域に、あるいはより大きな色域からより小さな色域に変換する際にも適用できる。

10

## 【0012】

ICCプロファイルは通常、変換を行う際に白点をどのように相互にマッチさせるかを特定しているが、黒点のマッチングについての指針は示していない。黒点補償（BPC）は、色域マッピングを実行するために、画像の相対的測色変換に関連して使用できる技術である。BPC方式は通常、XYZまたは線形RGB空間における測色値の黒色スケーリングを調整し、RGB等の1つのシステムの黒点をCMYU等の別のシステムの黒点にマッピングするステップを含む。BPCを適用できるマッピングの例は、Adobe RGB色域から新聞印刷CMYK色域へのマッピングである。

20

## 【0013】

画像の色調範囲は、その画像の白点と黒点の中間的なグレー値の数で決まる。白点は一般に、画像装置により再現可能な最も明るい白を指す。黒点は一般に、画像装置により再現可能な最も暗い黒を指す。黒点マッチング技術は、変換元と変換先の黒点を評価し、補正を加えて、好ましくない視覚的効果の発生を防止する。黒点マッチングは、人間の目がハイライトトーン、つまり彩度の低下した(desaturated)色調における変化よりシャドウトーン、つまり飽和した色調における変化に対して敏感である傾向があるために重要である。

30

## 【0014】

状況により、従来の知覚的レンダリングは、RGB画像からSNAP CMYKへの変換にとって容認できないことがある。屋外の火から上の黒煙、黒い服等の写真のように、シャドウの細部を含む画像では、RGBからCMYKへの変換中に、シャドウトーンの細部が大きく失われることがある。Microsoft Excelのプロットを数学的に使用してAdobe Photoshopアプリケーションで視覚的に、またグラフィクスとしてはApple ColorSyncユーティリティで三次元色域を見ることによって分析を行うと、この問題の説明がつく。

40

## 【0015】

しかしながら、彩度（飽和度）とシャドウの細部の両方の保存を重視すると、色忠実度を大幅に改善するための現在のBPC技術の合理的かつ論理的変更に素早く行き着くことができる。後述のように、この変更は、本発明にしたがって改良されたBPC技術を適用することによって評価できる。改良されたBPC技術は、Apple ColorSyncアプリケーションの三次元色域ビューワで見ることのできるICCプロファイルのA2B（AツーB）テーブルの作成という形で適用できるほか、相対的レンダリングでの最大グレー置換（GCR）に設定された、コネチカット州ノーウォークのKodak Polychrome Graphics, LLCから市販されているKPG色忠実度モジュール（CFM）等のカラーマネジメントモジュール（CMM）を使ってRGBからCMYKに画像を変換するのに使用される。

## 【0016】

色域マッピング一般的の目的は、飽和した暗い色を1つの色域から別の色域へ、暗い、飽

50

和した領域における細部を保護し、同時にミッドトーンとハイライト領域の色について不必要に彩度が低下しないような方法で、つまり色調圧縮を通じてマッピングすることである。色調（トーン）とは一般に、画像装置により再現可能な色値の範囲内のある点の輝度値を意味する。このため、BPC技術は一部のCMMにおいて使用され、ICCにより基本的な色域マッピング方式として提案されている。従来のBPC技術の基本となる1つの仮定は、BPCが基本的に線形RGB空間で行われるため、好ましくない色相シフトを防止でき、ほとんどの圧縮は、シャドウ領域で行われ、ミッドトーンとハイライトトーン領域にほとんど影響を与えない、というものである。

## 【0017】

この仮定は一般的には正しい。実際、測色値をより低い飽和度(saturation)から高い飽和度へと調整する場合、BPCにより、暗い色はコントラストと見た目の濃度において大幅な改善を見せ、その一方でより暗く、飽和した領域にほとんど影響を与えないことから、通常は受け入れられる結果が得られる。この効果は、ディスプレイプロファイルにおいてBPCによってフレアと不完全なRGB=0の影響が補正される表示装置上でのバーチャルブルーフ時に顕著に見られる。線形空間(linear space)でRGB=0が若干高められるため、濃い黒と黒に近い色の高いコントラストと外観を実現することができる。

## 【0018】

残念ながら、逆もまた真とはいかない。特に、RGB作業スペース(sRGB, Adobe RGB等)のようなより高い濃度でより飽和度の高い色域からSNAP(つまり新聞印刷)等のより低い濃度でより飽和度の低い色域にマッピングする際、シャドウの細部は中間トーンとハイライトトーンに比例して大幅に減少する。したがって、たとえば黒煙の画像では、シャドウの細部の多くが失われることになる。この問題は、Adobe RGB色域とSNAP色域のようなまったく異なる色域の間の変換を行うことになってはじめて明らかになるかもしれない。

## 【0019】

上記の問題は、以下のステップを実行することにより、Excelプロットにおいて数学的に実証できる。以下のステップにおいて、RGBへの言及はすべて、BPCを実行する前と後に紙ベースのRGBに正規化することを前提とする。まずCommission Internationale de l'Eclairage(国際照明委員会)のL\*(CIELAB)色空間からCIEルミノシティ(luminosity)Yへ、次にYからY<sub>BPC</sub>へ、つまり黒点補償(BPC)を行ったYへ、さらにY<sub>BPC</sub>からCIE L\*corrへの変換(L\*->Y->Y<sub>BPC</sub>->L\*corr)は以下のようにシミュレートされる。

$$\begin{aligned} L^* - &> Y - > Y_{BPC} - > L^*_{corr} \\ Y = ((L^* + 16) / 116)^3 & \quad L^* \text{が } 8 \text{ 以上の場合} \\ Y = L^* \times 27 / 24389 & \quad L^* \text{が } 8 \text{ 未満の場合} \\ Y_{BPC} = (Y - BPC) / (1 - BPC) & \\ L^*_{corr} = 116 Y_{BPC}^{(1/3)} - 16 & \quad Y_{BPC} \text{が } 216 / 24389 \text{ 以上の場合} \\ L^*_{corr} = Y_{BPC} \times 24389 / 27 & \quad Y_{BPC} \text{が } 216 / 24389 \text{ 未満の場合} \\ (1) \end{aligned}$$

ただし、L\*<sub>corr</sub>は、色調圧縮を用いた黒点補償により得られる補正後の輝度であり、L\*は所与の色値のもとの輝度値であり、BPCは特定の輝度値に適用されるオフセット補正、つまり輝度値について加減されるべきグレーの量を表す固定値である。たとえば、固定BPC値は約0.0から0.06の範囲とすることができます。

## 【0020】

上記の式(1)の逆関数は、以下のようにRGB空間からBPC補正された変換先に変換した場合の影響を示す。

$$\begin{aligned} Y_{corr} = ((L^*_{corr} + 16) / 116)^3 & \quad L^*_{corr} \text{が } 8 \text{ 以上の場合} \\ Y_{corr} = L^*_{corr} \times 27 / 24389 & \quad L^*_{corr} \text{が } 8 \text{ 未満の場合} \\ Y = (1 - BPC) Y_{BPC} + BPC & \\ L^* = 116 Y^{(1/3)} - 16 & \quad Y \text{が } 216 / 24389 \text{ 以上の場合} \end{aligned}$$

10

20

30

40

50

$$L^*_{corr} = Y \times 24389 / 27$$

(2)

Y が 216 / 24389 未満の場合

### 【0021】

上記の変換(1)と(2)は、プロファイルのために補正された  $L^*$  対 RGB から変換された画像への  $L^*$  の影響としてプロットして、以下に説明する図1A, 1B に示される。

### 【0022】

図1Aは、変換元の装置の色値から変換先の装置の色値へのマッピングに対する従来のBPC技術の影響を示すグラフである。図1Bは、図1Aのグラフの一部を拡大したものである。図1Aは、補正後の  $L^*$  (縦軸) 対補正前の  $L^*$  (横軸) をグラフにしたものである。曲線2は変換前の装置のプロファイルへのBPC補正を示し、曲線4はこの変換に対するBPC技術の影響を示す。図1Aからわかるように、従来のBPCを適用すると、トーンスケールのクオータートーンからシャドウトーン終端、たとえば約  $L^* = 0$  から  $L^* = 20$  の範囲で重大な圧縮が起こる。図1Bは、 $L^* = 0$  から  $L^* = 20$  の圧縮曲線4の拡大図である。図からわかるように、この領域の  $L^*_{corr}$  ( $L^*$ ) の勾配は約1の数値から約3/10の数値に圧縮される。

### 【0023】

図2は、図1Aに示す従来のBPC技術を適用する前の元の知覚的色域を示すグラフである。図3は、図1Aの従来のBPC技術を適用した後の図2の知覚的色域を示すグラフである。図2, 3は、3次元RGB色空間内の色域を示す。問題は、Newsprint Advertising Production仕様(SNAP)プロファイルを開き、デフォルトカラーマネジメントモジュール(CMM)としてKodak Polychrome Graphics Color Fidelity Module (KPG CFM)セットを使い、A2B0(AからB0)(知覚)タグを選択した上で、Apple Color Syncユーティリティで見ると、グラフィックスとして見ることができる。元のSNAP色域6は、図2のように見られる。Per BPC = 2の知覚的色域は、暗い領域において大きく歪曲し、図3の色域8に示すように見られる。図3の歪曲は、多くの用途において容認不能であり、シャドウ領域の細部が大幅に失われる。

### 【0024】

本発明によれば、改良されたBPC技術は、ハイライト領域とシャドウ領域における細部の損失を制限し、その一方で、ハイライトトーンとシャドウトーンを含む色調範囲全体にわたって色調圧縮が徐々に増大するように設計されている。改良されたBPC技術の好ましい影響は、RGB画像のRGB = 0 から SNAP画像の  $L^* = 35$  の黒にマッピングする場合に見ることができる。しかしながら、改良されたBPC技術は、あらゆる状況で効果を発揮する、より一般化されたマッピングソリューションをサポートする。

### 【0025】

改良されたBPC技術は、本発明の実施例によれば、非線形色調圧縮マッピングを応用する。非線形色調圧縮マッピングは、黒点補正オフセットを、第一の色調範囲、たとえばシャドウトーンに対応する装置非依存色値に適用するステップと、第二の色調領域、たとえばハイライトトーンに対応する装置非依存色値に対して勾配約1の色調圧縮マッピングを適用するステップと、シャドウトーン、ハイライトトーン、ミッドトーンを含む色調範囲全体に対応する装置依存色値に対して、変化する色調圧縮マッピングを適用するステップを含む。

### 【0026】

本発明の実施例による非線形色調圧縮マッピングには、次の特徴がある。

1. 色調圧縮は、ハイライトトーンからシャドウトーンおよび彩度の低下した色から飽和した色へと徐々に増加するべきである。
2. ハイライト領域の色は、RGBが最大値(たとえば8ビット表色系で255)に近づくにつれ、またCMYKが最小値、つまりゼロに近づくにつれ、補正が小さくなるべきである。

10

20

30

40

50

3. 上記の要求事項 1, 2 は、たとえば R G B 空間のガンマが約 1.5 から 3.0 の範囲内にある、合理的に知覚的な R G B 空間を前提とするべきである。

第一の要求事項を数学的な意味に言い換えると、B P C 関数の導関数、つまり二次導関数の変化率が色調範囲全体を通じて略一定であるべきである、つまり、補正関数が一般に以下の形であるべきであるということになる。

【数 1】

$$\frac{d^2 f(x)}{dx^2} = a$$

$$f(x) = ax^2/2 + bx + c$$

10

( 3 )

ただし、x は補償すべき当初の変換元の装置の色入力値、たとえば、強度であり、a, b, c は係数である。上式(3)は、補正係数が二次多項式より高くあるべきではないことを意味する。

【0027】

上式(3)のオフセット“c”が B P C オフセットと同じであるべきと仮定される場合、以下の境界条件が生じる。

$$f(0) = B P C \quad (4)$$

$$f(1) = 1 \quad (5)$$

20

このことから下の表現が得られる。

$$f(x) = B P C + (1 - B P C) x + x(1 - x) \quad (6)$$

ただし、B P C は固定オフセット値である。色調圧縮マッピングの第二の特徴は、補正パラメータ を B P C を使って定義できることを示すが、これは f(x) の一次導関数が x = 1 のとき 1 でなければならないことを意味するからである。

【数 2】

$$\frac{df(x)}{dx} = (1 - B P C) + \alpha - 2\alpha x = 1$$

$$= - B P C \quad (7)$$

30

したがって、本発明の改良された B P C 技術による B P C 補正の表現は、以下のように表される。

$$f(x) = B P C + (1 - B P C) x - B P C x(1 - x)$$

$$f(x) = B P C x^2 + (1 - 2 B P C) x + B P C \quad (8)$$

それゆえ、改良された B P C 技術は、ハイライトトーンについて約 1 の勾配を実現する二次式、シャドウトーンについて固定 B P C オフセット、白から灰色、そして黒まで、つまりシャドウトーン、ハイライトトーン、ミッドトーンを含む色調範囲全体にわたる B P C 補正の円滑な二次增加によって特徴付けることができる。

【0028】

最後に、色調圧縮マッピングの第三の特徴は、単純に C I E L A B から X Y Z に変換し、B P C を適用し、再び C I E L A B に変換するか、あるいは C I E L A B を X Y Z に変換し、X Y Z から R G B 、R G B から B P C を行った R G B 、B P C を行った R G B から X Y Z および X Y Z から C I E L A B に (C I E L A B -> X Y Z -> R G B -> R G B (B P C) -> X Y Z -> C I E L A B ) 変換 (B P C を線形 R G B 空間で適用) するのではなく、視覚的に C I E L A B と似ている R G B 空間に補正を行うべきであることを意味する。これは、以下のように、R G B (線形) を R G B' (知覚的) に、その後 R G B' (知覚的) を R G B (線形) にマッピングすることによって実現できる。

$$R' = R^{1/2.2}, G' = G^{1/2.2}, B' = B^{1/2.2} \quad (9)$$

40

と

$$R = R'^{2.2}, G = G'^{2.2}, B = B'^{2.2} \quad (10)$$

50

式(9)において、たとえば、指数は1/2.2である。式(10)において、指数は2.2である。CIELABは現在、2つの区分関数、つまりX, YまたはZがゼロに近づく一次関数と、それ以外の非線形指數法則を使って定義されるため、RGB->(RGB)'のより詳しい定義、たとえば、sRGB色空間の仕様やKodak ProPhoto RGB色空間の仕様で定義されるものを用いることができる。一例として、以下のように、応答においてCIELAB L'のそれと同じ、知覚的に線形の(RGB)'の定義が用いられる。

$$R' = f(R), G' = f(G), B' = f(B)$$

ただし、 $f(R) = 1.16 R^{1/3} - 0.16$  Rが216/24389以上の場合

$$f(R) = 24389^* R / 2700 \quad R \text{が} 216/24389 \text{未満の場合}$$

10

および

$$R = f^{-1}(R'), G = f^{-1}(G'), B = f^{-1}(B')$$

ただし、 $f^{-1}(R) = ((R' + 0.16) / 1.16)^3$  R'が.08以上の場合

$$f^{-1}(R) = R'^* 2700 / 24389 \quad R'が.08未満の場合$$

GとBについても同様である。改良されたBPC補正は、以下のように、RGB(線形)ではなくRGB'に適用される。

$$\text{CIELAB} -> XYZ -> RGB -> RGB' -> RGB'(\text{BPC}) -> RGB -> XYZ -> CIELAB \quad (11)$$

ただし、RGB' (BPC)は、知覚的RGB'色空間においてBPC補正を適用することを示す。

20

### 【0029】

別の実施例によれば、上記の補正の逆を、変換元の装置のプロファイルではなく、変換先の装置のプロファイルについて行うことができ、これは以下のBPC方程式で表される。

### 【数3】

$$f^{-1}(x) = \frac{-(1-2BPC) + \sqrt{(1-2BPC)^2 - 4BPC(BPC-x)}}{2BPC}$$

30

(12)

上式(12)は、小さな色域の黒点を完全な黒にマッピングし、色域体積を増大させる影響を有する。この技術は、2つの色料(AとB)がA->Bにマッピングされている場合、一方または両方がたとえばSWOP(CMYK)->SNAP(CMYK)へのマッピング時のようにゼロ以外の黒点を持っていれば、一方または両方は完全な黒にマッピングされるとの仮定に基づく。理論的には、RGB->CMYKのマッピングの場合について上述した手順に似た結果が得られるはずであるが、現実には、この方式では、SNAP新聞印刷のような低品質の印刷の欠陥と非線形が強調されることがある。したがって、式(8)を大きな色域に適用するとよりよい結果が得られることがわかった。式(8)を適用することには、より大きな色域系の黒点を増大させ、AとBの色域が同じようになるまで色域体積を縮小する効果を有する。

40

### 【0030】

図4Aは、本発明の実施例により、改良されたBPC技術が、変換元の装置の色値から変換先の装置の色値へのマッピングに与える影響を示すグラフである。より詳しくは、図4Aは、式(8)による改良されたBPC技術をRGBからCMYKへの転換に適用したものと示す。図4Aの曲線10は、改良されたBPC技術が転換に与える影響を示す。特に、曲線10は、シャドウトーンからクオータートーンの範囲、たとえばL'=0から20の範囲において、圧縮が少ないことを示す。図4Bは、L'=0からL'=20の範囲の変換を拡大したものである。図4Bに示すように、L'=0からL'=20の範囲の勾配は、図1Bに示す従来のBPC方式が約3/10(0.3)の勾配であったのに対し、1/50

2(0.5)に近い。

#### 【0031】

図5は、式(8)に示す改良されたBPC技術を使って変換を行った後の図2の知覚的色域を示すグラフである。図5の変換された知覚的色域12では、図3の色域8に関して、暗い領域の歪みが低減している。図3に示す歪みは、多くの用途において容認できず、シャドウ領域の細部が大幅に喪失する。

#### 【0032】

本発明の好ましい実施例には、より大きな色域を縮小して、より小さな色域に適合させることが必要となるが、図5のような改善された色域の拡大は、より視覚的に均一なRGB空間を使うことによって得られる。色域12の形状が合理的であることは、この方法が従来のBPC技術より優れていることを示す。

#### 【0033】

とりわけ、BPCを実行する際、黒点(black point)の数値は以下のように計算される。

$$L^*(black\ point) \rightarrow XYZ(black\ point) \rightarrow RGB(black\ point) \rightarrow RGB'(black\ point) \quad (13)$$

式(13)では、RGB黒点の数値を視覚的に均一なRGB'空間に変換してから、上記のBPC補正を実行することが必要である。また、RGBは用紙白色の正規化が行われていると想定されるので、BPCは任意で以下のようなニュートラル調整とすることができます。

$$BPC = \min(R(black\ pt.), G(black\ pt.), B(black\ pt.)) \quad (14)$$

つまり、BPCの数値はR', G', B'補正について同じ数値である。換言すれば、BPCオフセット補正是どの色チャネルでも同じであり、色チャネルR, G, Bの中の最小黒点(black pt.)に基づいて選択される。したがって、選択された黒点が、R, G, Bチャネル間のバランスに応じてニュートラル(中立的)ではない可能性もある。

#### 【0034】

変換にRGB色空間を選択することは重要である。一般的なRGB空間はAdobe RGBである。色編集と操作は、デフォルトとしてAdobeRGBを使ってRGB画像上で行われることが多い。一方、単独またはBPCとの併用による色順応のために、ブラッドフォード(Bradford)変換がしばしば用いられ、これはたとえば、ICC Specification, Version 4.2.0.0 (specification ICC.1:2004-10 (Profile version 4.2.0.0))の色順応の項に記載されている。色順応のために使用される変換は概念において類似している。たとえば、この変換は通常、XYZ値をLMS(長、中、短)の数値に変換して、目が有する身体的な「RGB様の」特性をよりよく捕らえるのに用いられる。したがって、ブラッドフォード変換やその他の「コーンシャーピング(cone-sharpening)」マトリクスは単純に、AdobeRGBのようなRGB作業空間に使用される逆RGBマトリクスとみなされる。

#### 【0035】

逆ブラッドフォードまたはAdobeRGB変換のいずれかを使って本願に示す改良されたBPC色域マッピング手順を行うことも可能ではあるが、これら2つのRGB空間の色域のいずれからも逸脱する物理的に有効な色が存在する。その結果、XYZ -> LMSの変換時に、RGBかLMSが負の数値となることがある。負の数値のLMSは、特に非線形変換にとって問題である。この問題を避けるために、本願では新たなRGB空間を提案し、区別するためにこれを「Edg eRGB」と呼ぶ。提案のEdg eRGB色空間はすべての有効なXYZ値を包含するように設計され、これには360から760nmの範囲の単波形色(single wavelength color)からなる有名なCIEの「馬蹄形」の軌跡も含まれる。

#### 【0036】

10

20

30

40

50

図6は、本発明の実施例による改良されたBPC技術と一緒に使用するための改良されたEdg e RGB空間を示すグラフである。特に、図6は、x-y座標によるCIE色度マップである。図6において、曲線14は、カラーイメージング分野の当業者の間で周知のCIE「馬蹄図」の軌跡を示し、これには36nmから760nmの範囲の単波長色が含まれる。馬蹄図は、色のスペクトルエネルギーの軌跡を定める。曲線16は、改良されたEdg e RGB色空間を画定する。図6のEdg e RGB色空間（曲線16が示す）は、D50の白点と、RGB->XYZの色度で定義することができる。逆を計算して、ブラッドフォード変換、つまりXYZ->RGB（またはLMS）と同様の「LMS」空間として使用できる。この方法を用いることにより、XYZの正規の数値（legal value）はすべて、本願に記載の非線形変換を実行するために正の数値のLMSになる。

10

## 【0037】

Edg e RGB色空間（曲線16により画定）は、本願に記載するような色スケーリングに有益であり、図6に示すように、以下の特徴を有する。第一に、Edg e RGB色空間はCIE軌跡14全体、つまりすべての可視色を包含する。第二に、Edg e RGB色空間はCIE軌跡14の対称性を大体保存する。第三に、Edg e RGB色空間はCIEの軌跡14を内包するのに十分大きいが、CIE軌跡上の少なくとも数点において接線方向に交差するサイズである。一般に、Edg e RGB色空間は、本願による改良されたBPCのために非線形色調圧縮マッピングを適用する上で有益である。

## 【0038】

RGBのような操作を実行するためには、CIE軌跡全体をちょうど捉える大きなRGB空間を有することが好ましい。Edg e RGB色域の三角形は、D50の白点でこの目的を達成する。これに対して、ブラッドフォードRGB色域は緑の色度について非常に負の方向にシフトした(negative shifted)数値を有し、RGB数値が負となることがある。Edg e RGB空間はガンマ値が1.8であり、二次黒点補正と組み合わせて、中程度ないし大幅な色域マッピング圧縮の場合にハイライトおよびミッドトーンを好ましく保護できる。

20

## 【0039】

図7は、本発明による改良された黒点補償を使用した、変換元の装置から変換先の装置への色値マッピングを示すフローチャートである。詳しくは後述するように、マッピング処理は、汎用演算システムのプロセッサによって実行されるソフトウェア処理として実装できる。図7に示すように、プロセッサは、保管用アーカイブから、プリンタ、表示装置等、変換元の画像装置に表示するために公式化される変換元装置データ17を含む画像ファイルを取得する。変換元装置データはRGBデータとすることができる。画像ファイルを変換するために、プロセッサは変換元装置プロファイル18を適用して変換元装置データ17を変換元プロファイル接続空間（PCS）データ20に変換、つまり、順変換を行う。PCSはXYZ, L\*a\*b\*, Luvまたはその他、変換元および変換先の装置に依存する座標の間の変換マッピングの適用に適した三成分色空間とすることができる。

30

## 【0040】

図7をさらに参照すると、汎用演算システムのプロセッサ内に実装された改良型黒BPCユニット22が、本願に記載の改良されたBPC技術の実施例にしたがって、変換元PCSデータ20に黒点補償を適用する。たとえば、改良されたBPCユニット22は、非線形色調圧縮マッピングを適用し、好ましいBPC結果を得る。プロセッサは、エラー最小化ユニット24を適用し、変換先装置データ26によって画定される変換先装置に依存する座標を検索する。変換先装置データはCMYKデータとすることができる。プロセッサは、変換先装置プロファイル28を使って変換先装置データ26を変換し、変換先PCSデータ30を取得、つまり順変換を行う。エラー最小化ユニット24は、変換先PCSデータ26を、改良されたBPCユニット22によって修正(modify)された変換元PCSデータ20と比較し、エラー値（“ERROR”）を生成する。プロセッサは次に、変換元PCSデータ20と変換先PCSデータ30との差のエラー値が容認可能な範囲に小さくなるまで、変換先装置データ26の修正を繰返し行う。

40

50

## 【0041】

図8は、本発明の実施例によるハイライト領域とシャドウ領域の改良されたBPCマッピングを示すブロック図である。図8は、本願で説明する改良されたBPF技術による、図7のBPCユニット22の機能の例を示す。図8に示すように、非線形色調補償マッピングは、当初の変換元PCSデータ32に対して、変換元PCSデータがハイライトトーン内にあるかシャドウトーン内にあるかに応じて、異なるBPC変換を適用するという効果を有する。特に、前述の要求事項1, 2, 3および式(8)と同様に、BPC方程式の結果、ハイライトトーンについて略1に等しい平均勾配、つまり同一勾配(identity slope)34、ハイライトトーンとシャドウトーンを含む色階調全体を通じて略一定した二次導関数36、そしてシャドウトーンに対する有限調整(finite adjustment)38が求められる。その結果、黒点補償された変換元PCSデータ40のグループが得られる。

10

## 【0042】

一般に、ハイライトトーンとは強度が約0%から25%の範囲の色調を指し、シャドウトーンは強度が約75%から100%の範囲の色調を指す。これらのハイライトトーンとシャドウトーンの領域の境界は例にすぎないが、改良されたBPC方程式により影響を受ける色調の大体の範囲を示すものである。また、領域の境界は重複することもある。ハイライトトーンについて同一勾配34、色階調全体、たとえば0から100%についての略一定の二次導関数36およびシャドウトーンについて有限調整38(たとえばBPCオフセット等)を用いたBPC関数を適用することにより、十分に分散された色調補償を行って、ハイライトおよびシャドウトーンの細部の実質的な損失を削減できる。

20

## 【0043】

図9は、本発明の実施例による改良されたBCPマッピング技術を適用するための動作環境の一例を示す。特に、図9は、プロセッサ42、メモリ44、ユーザインタフェース48、変換元の画像装置50、変換元装置データアーカイブ52、変換先装置データアーカイブ54および変換先画像装置56を備える汎用演算環境を示す。プロセッサ42は、変換元装置データを変換先装置データに変換するために、KPG CFM等のカラーマネジメントモジュールを実行することができる。プロセッサ42はさらに、変換中に改良されたBPC技術を実行し、たとえばAdobeRGB等のより大きな色域からSNAP等のはるかに小さな色域に変換する場合等の歪みと細部の損失を防止する。

30

## 【0044】

変換元画像装置50と変換先画像装置56は、表示装置やプリンタとすることができる。あるいは、変換元画像装置50はスキャナまたはカメラ等の画像撮影装置であってもよい。いずれの場合も、変換元画像装置50と変換先画像装置56は、適用可能な装置依存座標セットにしたがって動作する。たとえば、変換元画像装置50は、RGB座標によって定義される変換元装置データを生成する画像撮影装置とすることができる、また変換先画像装置56は、CMYK座標によって定義される変換先装置データを生成するプリンタとすることができます。アーカイブ52, 54は変換元および変換先装置データを保存し、ハードドライブ等、一般的なデータ記憶装置の中に設置できる。

## 【0045】

ユーザインタフェース48としては、ユーザに対して出力を表示する、陰極管(CRT)、液晶ディスプレイLCD)、プラズマディスプレイ、デジタルライトプロセシング(DLP)ディスプレイその他の表示装置がある。さらに、ユーザインタフェース48は、グラフィカルユーザインタフェースを支援するマウス、トラックボールその他のキーボードやポインティング装置を備えていてもよい。動作中、ユーザはユーザインタフェース48を通じてプロセッサ42と対話し、たとえば図7, 8に示すように、変換元装置データを変換先装置データに変換するよう指示する。メモリ44は、プロセッサ42が本願に記載の改良されたBPC技術を実行するために、プロセス読み取り可能な(process-readable)命令とデータを記憶する。命令は、カラーマッピングとここに記載のBPC機能を実行するプログラムコードを含む。プロセッサ42は、Windows(登録商標), Mac OS, Linux, Unix(登録商標)その他をはじめとする各種のオペレーティング

40

50

システムのいずれでも動作できる。

【0046】

プロセッサ42は、たとえばP CやM A Cコンピュータあるいはワークステーション内の1つまたは複数の汎用マイクロプロセッサの形態とすることができます。実施例によつては、プロセッサ42は1つまたは複数のデジタル信号プロセッサ(D S P)、アプリケーション特定用途集積回路(A S I C)、フィールドプログラマブルロジックアレイ(F P G A)、あるいはこれと同等の集積または個別論理回路、あるいはこれらの組み合わせでも実現できる。メモリ44は、磁気または光テープまたはディスク、ランダムアクセスメモリ(R A M)、リードオンリーメモリ(R O M)、電子的にプログラム可能なメモリ(E P R O MまたはE E P R O M)もしくはフラッシュメモリ等のソリッドステート(固体)揮発性または不揮発性メモリおよびその他の揮発性または不揮発性メモリあるいはデータ記憶媒体とすることができる。10

【0047】

本願に記載の改良されたB P C技術は、図9のプロセッサ42のプログラム可能な機能としても実装できる。この機能は、色調曲線の異なる領域に与える影響によって特徴付けられる。たとえば、改良されたB P C技術は、第一の色域における色値を第二の色域にある色値に変換するために、非線形色調圧縮マッピングを適用するB P C関数を応用する。非線形色調圧縮マッピングでは、ハイライトトーン(たとえば、0%から25%)について約1の勾配、色階調全範囲(0%から100%)を通じて略一定の二次導関数、シャドウトーン(約75%から100%)について有限調整を用いる。有限調整は、シャドウトーン部の色値の各々に適用される固定B P Cオフセットとすることができる。改良されたB P C技術はハイライトトーンとシャドウトーンに異なる影響を与えるが、ハイライトトーンとシャドウトーン領域において異なるB P Cの結果を生むような1つの数学的B P C関数を適用することによっても実現可能である。また、B P C関数を、ユーザの選好に基づいて自動的または手作業で構成されるスプラインで実装してもよい。20

【0048】

実施例により、B P C関数は、B P C値を特定の色入力値へのインデックス付の1つまたは複数のルックアップテーブル(L U T)でも実装できる。L U Tは、プロセッサ42によって呼び出し可能な独立型L U Tであっても、プロファイルの中に内蔵させてもよい。いずれの場合も、L U Tの中のB P C値は、B P C関数により、異なる領域、つまりハイライトトーンとシャドウトーンに入る色値に適用されるべき調整を表す。したがって、改良されたB P C技術は、B P C調整量を求めるためにプロセッサ42によって計算される数学的関数またはスプラインとして、あるいは特定の色入力値に応答して数学的関数によって出力されるB P C調整量を表す、事前に計算されたインデックス付きのL U Tエントリのグループとしても適用できる。30

【0049】

以下に、本発明の1つの実施例による改良されたB P Cのためのプロセスの一例を説明するソフトウェアコードセットを示す。グラッドフォード変換を実行するのに通常使用される計算の中で、次のコード例を使用できる。以下のコード例において、文字“//”に続く説明は、そのコードの中に行われる演算に関するコメントである。このテストケースでは、ガンマ=1.8の単純なガンマ曲線を使って、知覚的R G B空間を定義した。前述のように、より複雑な区分的R G B色調曲線も使用できる。以下の例において、 $x^n = p o w(x, n)$ のような標準的C++数値計算関数を使用する。40

【数4】

```
#define EDGE_TRANSFORM
#ifndef EDGE_TRANSFORM
static const double kBradfordMatrix[9] = { 0.8951, 0.2664, -0.1614,
                                         -0.7502, 1.7135, 0.0367,
                                         0.0389, -0.0685, 1.0296 };
#endif
```

10

// RGB 様の操作を実行するために、ちょうど CIE 軌道(locus)全体を捕捉できる大きさの RGB 空間が好ましい。 EdgeRGB 色域の三角形（たとえば、図 6 の三角形 16）は、D50 の白点の場合のそれである。

【数5】

```
#ifdef EDGE_TRANSFORM
static const double kBradfordMatrix[9] = { 1.037, 0.07842, -0.09494,
                                         -0.4311, 1.3356, 0.0971,
                                         0.0335, -0.00855, 1.1835 };
#endif
```

20

// 後述のように、EdgeRGB ガンマ値 1.8 と最適なハイライトおよびミッドトーン保存のための二次黒点補正と組み合わせることにより、大幅な色域マッピング圧縮で良好な結果が得られ、より小さなガンマ圧縮についても受け入れられる。

【数6】

```
#define EDGE_GAMMA 1.8
```

30

// 以下のステップは、pow0 が常に若干正の浮動小数点値となるようにするものである。

【数7】

```
#define MIN_POW_VALUE 0.00001
void BradfordLab::initializeTransforms(void)
{
```

// mLMSKOffsetSize は、媒体 LMS (長中短) 黒点オフセット値を指す。

40

【数8】

```
double xyz[3], mLMSKOffsetSize;
XYZ xyzVal;
```

// 以下のステップにより媒体黒点オフセットが得られる。

【数9】

```

xyzVal = mediaBlack();
// mediaBlack を mKOffset に入れる。

```

【数10】

```
xyzVal.get(mKOffset);
```

10

```

// mKOffset の LMS 値を得る。
// この関数は、マトリクス "mConeMatrix" にベクトル "mKOffset" を乗じる。
// 新しい LMS ベクトル mLMSKOffset を返す。

```

【数11】

```
matrixTimesVec(mLMSKOffset, mConeMatrix, mKOffset);
```

20

```
// 基準の白の LMS。
```

【数12】

```

xyzVal = referenceWhite();
xyzVal.get(xyz);

```

```

// このステップは、D50 白の "XYZ" ベクトルを、プラッドフォードコーンマトリクス(cone matrix) "mConeMatrix" を乗じることによってこれに対応する LMS のベクトル "mLMSRef" に変換する。

```

【数13】

30

```
matrixTimesVec(mLMSRef, mConeMatrix, xyz);
```

```
// 媒体白色の LMS
```

【数14】

```

xyzVal = mediaWhite();
xyzVal.get(xyz);

```

40

```

// このステップは、媒体白色(紙白等)の "XYZ" ベクトルを、プラッドフォードコーンマトリクス "mConeMatrix" を乗じることによってそれに対応する LMS の "mLMSSMedia" に変換する。

```

【数15】

```
matrixTimesVec(mLMSSMedia, mConeMatrix, xyz);
```

50

```
// 黒点オフセットを、LMS のみについての "M" に基づくものと定義する。
```

【数16】

```
mLMSKOffsetSize = mLMSKOffset[1] / mLMSMedia[1];
```

// mLMSKOffset を LMS 媒体白色に正規化する。

【数17】

```
if (mLMSKOffsetSize < MIN_POW_VALUE)
    mLMSKOffsetSize = MIN_POW_VALUE;
mLMSKOffsetSize =
pow(fmax(MIN_POW_VALUE, mLMSKOffsetSize), 1.0/EDGE_G
AMMA);
```

10

// LMS 黒オフセットベクトルを、大きさ mLMSKOffsetSize の中立黒点補正として定義する。

【数18】

20

```
mLMSKOffset[0] = mLMSKOffsetSize;
mLMSKOffset[1] = mLMSKOffsetSize;
mLMSKOffset[2] = mLMSKOffsetSize;
```

// mFwdScale は D50 の白から紙白等の媒体白色へのスケーリングを定義する。

【数19】

30

```
mFwdScale[0] = mLMSRef[0] / mLMSMedia[0];
mFwdScale[1] = mLMSRef[1] / mLMSMedia[1];
mFwdScale[2] = mLMSRef[2] / mLMSMedia[2];
```

// 上記のコードにおいて、次のように順方向色順応が行われる（順方向とは、非D50 のものから参照する D50 の白点に変換することを意味する）。

【数20】

40

```
void BradfordLab::forwardAdaptation (XYZ const& xyzIn_, XYZ&
result_) const
{
    double lms[3], xyz1[3], xyz2[3], sgn, Y;
    xyzIn_.get (xyz1);
    memset (xyz2, 0, 3 * sizeof(double));
    Y = (xyz1[1] > 0.0) ? xyz1[1] : 0.0001;
```

50

// 0 . 0 より大きくなるようにする。  
 // X Y Z ベクトルにコーンマトリクスを乗じることにより、x y z 値を L M S の数値に変換する。  
 // この例において、コーンマトリクスは E d g e R G B の逆数である。  
 【数 2 1】

```
matrixTimesVec (lms, mConeMatrix, xyz1); // lms = M xyz
```

// l m s 値が E d g e R G B 色域の外にあれば、これは非物理的 L a b 値 ( L a b = 1 0  
 0 , 1 0 0 , 1 0 0 等 ) で、順応が不要であるため、変更は行わないものと想定する。  
 【数 2 2】

```
if(lms[0] < -0.01 || lms[1] < -0.01 || lms[2] < -0.01)
{
    result_.set (xyz1);
    return;
}
```

20

// L M S 値を L M S 媒体白色に正規化する。これは白 L M S = ( 1 , 1 , 1 ) を意味する。  
 【数 2 3】

```
lms[0] /= mLMSMedia[0];
lms[1] /= mLMSMedia[1];
lms[2] /= mLMSMedia[2];
```

30

// 合理的なシャドウ表現を確保するために、L M S ( r e l ) -> L M S ' = ( L M S )  
 // ^ 1 / E d g e \_ G a m m a の変換を行う。  
 【数 2 4】

```
lms[0] =
pow(fmax(MIN_POW_VALUE,lms[0]),1.0/EDGE_GAMMA);
lms[1] =
pow(fmax(MIN_POW_VALUE,lms[1]),1.0/EDGE_GAMMA);
lms[2] =
pow(fmax(MIN_POW_VALUE,lms[2]),1.0/EDGE_GAMMA);
```

40

// B P C 補正のための二次方程式を使って、L M S ' -> L M S ' ( B P C ) の変換を行う。

// この式により、略白の値は変更せず、略黒の値には最大の P B C 補正を行い、白から灰色、続いて黒に向かって B P C 補正の平滑な二次増加が行われることが確実になる。

【数25】

```

lms[0] = mLMSKOffset[0]*lms[0]*lms[0]+(1.0-
2.0*mLMSKOffset[0])*lms[0]+mLMSKOffset[0];
lms[1] = mLMSKOffset[1]*lms[1]*lms[1]+(1.0-
2.0*mLMSKOffset[1])*lms[1]+mLMSKOffset[1];
lms[2] = mLMSKOffset[2]*lms[2]*lms[2]+(1.0-
2.0*mLMSKOffset[2])*lms[2]+mLMSKOffset[2];

```

10

// L M S ( r e l ) = ( L M S ' ) ^ E d g e \_ G a m m a を使って、 L M S ' ( B P C ) -> L M S ( r e l ) の変換を行う。

【数26】

```

lms[0] = pow(fmax(MIN_POW_VALUE,lms[0]),EDGE_GAMMA);
lms[1] = pow(fmax(MIN_POW_VALUE,lms[1]),EDGE_GAMMA);
lms[2] = pow(fmax(MIN_POW_VALUE,lms[2]),EDGE_GAMMA);

```

20

// L M S 値を L M S 基準白色にスケーリングする。

【数27】

```

lms[0] *= mLMSRef[0];
lms[1] *= mLMSRef[1];
lms[2] *= mLMSRef[2];
matrixTimesVec(xyz2, mConeInverse, lms); // xyz = M-1 lms
xyz2[0] = fmax(0.0,xyz2[0]);
xyz2[1] = fmax(0.0,xyz2[1]);
xyz2[2] = fmax(0.0,xyz2[2]);
result_.set(xyz2);
}

```

30

変換元から変換先のマッピングを構築する際、たとえば以下のコードに示されるように、より大きな色域またはより暗い黒点を有する装置の黒点を設定するのに、各色域の黒点を取得して使用する。

40

```

// 各装置のマッピングのための黒を取得する。どの装置の黒マッピング値がより明るいか
// を判断する。差（適切にスケーリングする）をより暗い装置に加えてその黒点を明るく
// し、 E d g e R G B 黒点補償を通じて色域を縮小する。
// “ m M o d e l s [ ] ” はモデルオブジェクトのアレイであり、つまり変換元の装置ま
// たは変換先の装置の数学的表現であることに注意する。

```

【数28】

```

destMappingBlack = mModels[mNumModels-1]-
>getMappingBlack ();
for ( i=mNumModels-2 ; i>=0 ; i-- )
{
    sourceMappingBlack = mModels[i]->getMappingBlack ();
    diffMappingBlack = destMappingBlack -
sourceMappingBlack;

```

10

//変換先装置の黒が変換元の装置より明るい場合、変換元の装置の黒点を明るくして色域を縮小し、そうでない場合は、変換先の装置の色域を縮小する。

【数29】

```

if (diffMappingBlack.y() >= 0.0)
{
    mModels[i]->setMappingBlack (diffMappingBlack/(1.0-
sourceMappingBlack.y()));
    mModels[mNumModels-1]->setMappingBlack
(zeroBlack);
}
else
{
    diffMappingBlack *=1;
    mModels[mNumModels-1]->setMappingBlack
(diffMappingBlack/(1-destMappingBlack.y()));
    mModels[i]->setMappingBlack (zeroBlack);
}
}

```

20

30

【図面の簡単な説明】

【0050】

【図1A】変換元装置の色値から変換先装置の色値へのマッピングに対する従来のBPC方式の効果を示すグラフである。

40

【図1B】図1Aのグラフの一部の拡大図である。

【図2】図1Aに示す従来のBPC方式を適用する前の当初の知覚的色域を示すグラフである。

【図3】図1Aの従来のBPC方式を適用した後の図2の知覚的色域を示すグラフである。

【図4A】本発明の実施例による、変換元のデバイスの色値から変換先のデバイスの色値へのマッピングに対する改良されたBPC技術の効果を示すグラフである。

【図4B】図4Aのグラフの一部の拡大図である。

【図5】本発明の実施例による改良されたBPC方式を適用した後の図2の知覚的色域を示すグラフである。

50

【図6】本発明の実施例による改良されたBPC技術を利用する改良されたRGB空間を示す図である。

【図7】本発明による改良された黒点補償を用いた変換元のデバイスの色値から変換先のデバイスの色値へのマッピングを示すフローチャートである。

【図8】本発明の1つの実施例による、改良されたハイライトおよびシャドウ領域のBPCマッピングを示すブロック図である。

【図9】本発明の実施例による改良されたBPCマッピング方式を適用するための動作環境の例を示すブロック図である。

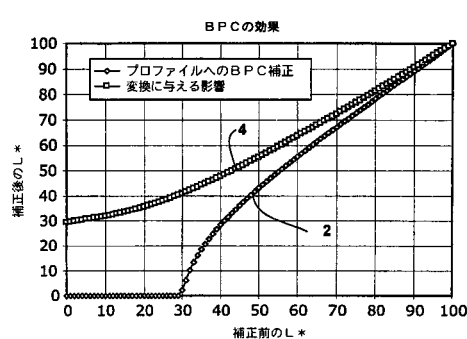
#### 【符号の説明】

##### 【0051】

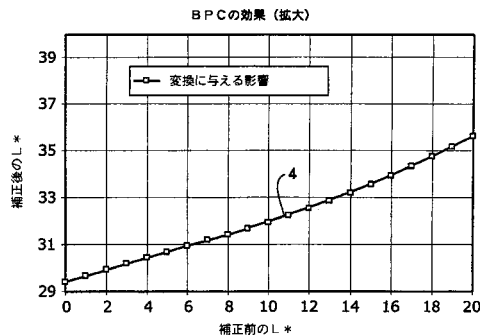
2 曲線、4 曲線、6 曲線、8 曲線、10 曲線、12 色域拡大、14 曲線、16 曲線、17 変換元装置データ、18 変換元装置プロファイル、20 PCSデータ、22 改良されたBPCユニット、24 エラー最小化ユニット、26 変換先装置データ、28 変換先装置プロファイル、30 変換先PCSデータ、32 当初の変換元PCSデータ、34 同一勾配、36 一定の二次導関数、38 有限調製、40 補償された変換元PCSデータ、42 プロセッサ、44 メモリ、48 ユーザインターフェース、50 変換元画像装置、52 変換元装置データアーカイブ、54 変換先装置データアーカイブ、56 変換先画像装置。

10

【図1A】



【図1B】



【図2】

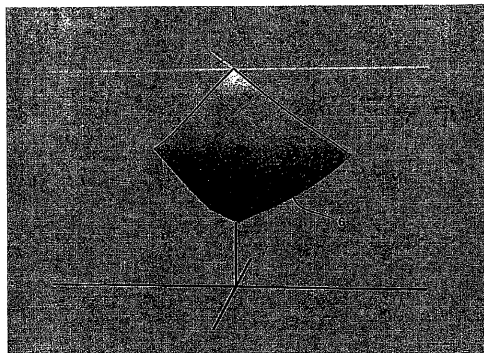


FIG. 2

【図3】

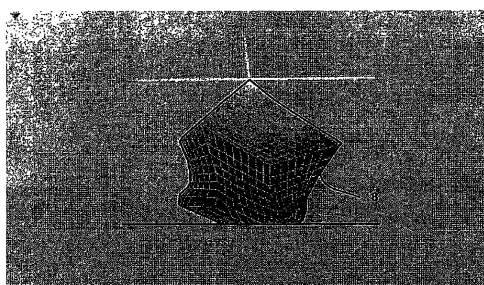
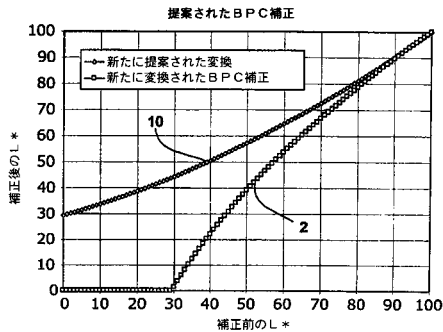
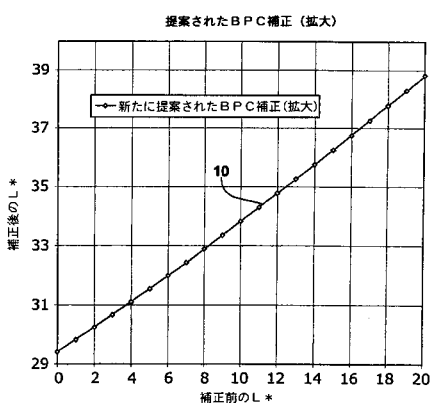


FIG. 3

【図 4 A】



【図 4 B】



【図 5】

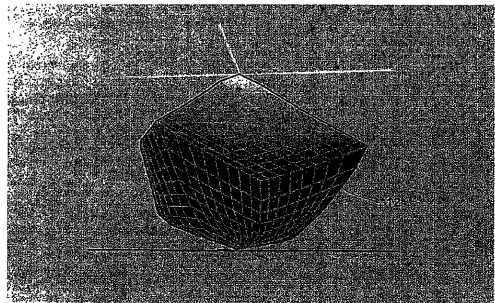


FIG. 5

【図 6】

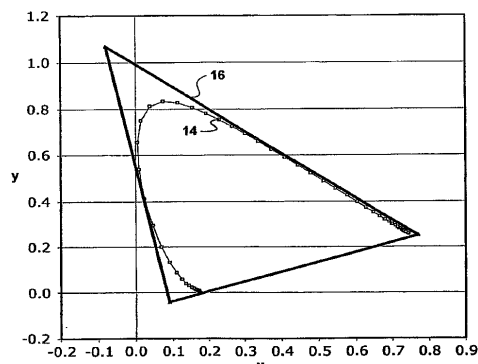
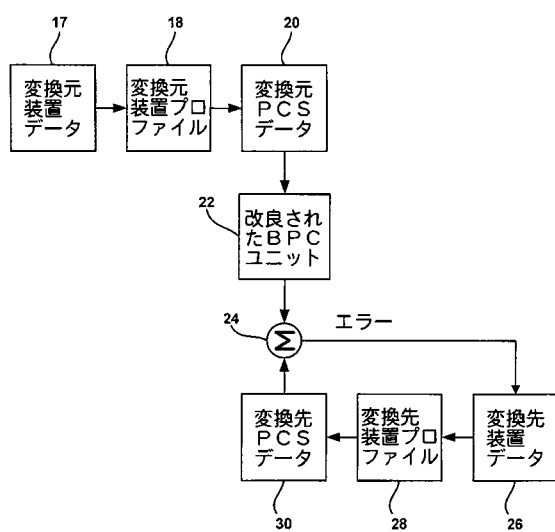
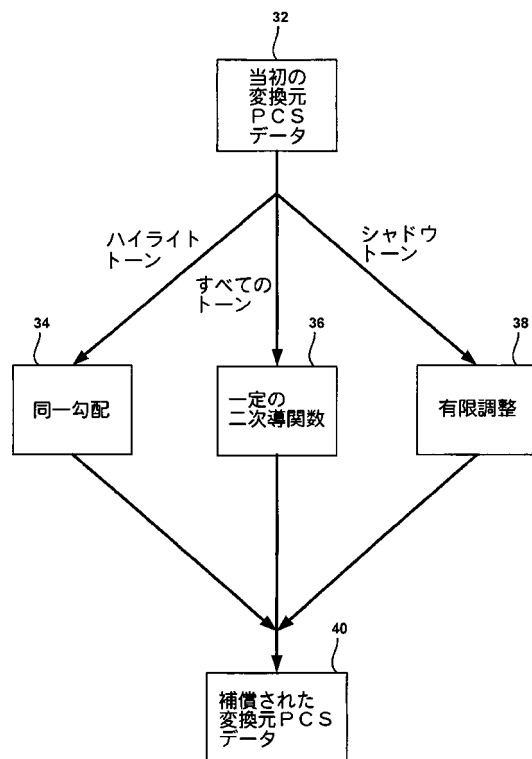


FIG. 6

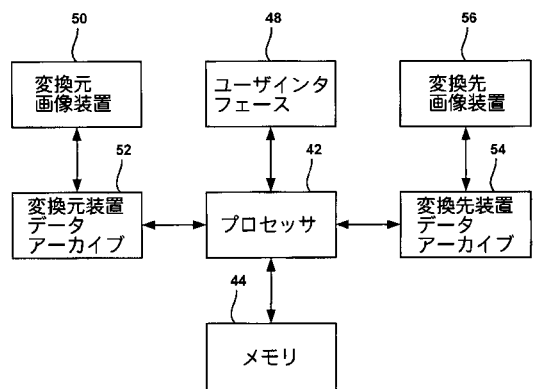
【図 7】



【図 8】



【図9】



## 【国際調査報告】

## INTERNATIONAL SEARCH REPORT

International application No  
PCT/US2007/003871

<b>A. CLASSIFICATION OF SUBJECT MATTER</b> INV. H04N1/60		
According to International Patent Classification (IPC) or to both national classification and IPC		
<b>B. FIELDS SEARCHED</b> Minimum documentation searched (classification system followed by classification symbols) H04N		
Documentation searched other than minimum documentation to the extent that such documents are included in the fields searched		
Electronic data base consulted during the international search (name of data base and, where practical, search terms used) EPO-Internal, WPI Data, INSPEC, COMPENDEX		
<b>C. DOCUMENTS CONSIDERED TO BE RELEVANT</b>		
Category*	Citation of document, with indication, where appropriate, of the relevant passages	Relevant to claim No.
	-/-	
<input checked="" type="checkbox"/> Further documents are listed in the continuation of Box C.		<input checked="" type="checkbox"/> See patent family annex.
* Special categories of cited documents : *A* document defining the general state of the art which is not considered to be of particular relevance *E* earlier document but published on or after the international filing date *L* document which may throw doubts on priority claim(s) or which is cited to establish the publication date of another citation or other special reason (as specified) *O* document referring to an oral disclosure, use, exhibition or other means *P* document published prior to the international filing date but later than the priority date claimed		
*T* later document published after the international filing date or priority date and not in conflict with the application but cited to understand the principle or theory underlying the invention *X* document of particular relevance; the claimed invention cannot be considered novel or cannot be considered to involve an inventive step when the document is taken alone *Y* document of particular relevance; the claimed invention cannot be considered to involve an inventive step when the document is combined with one or more other such documents, such combination being obvious to a person skilled in the art. *&* document member of the same patent family		
Date of the actual completion of the international search	Date of mailing of the International search report	
19 July 2007	07/08/2007	
Name and mailing address of the ISA/ European Patent Office, P.B. 5818 Patentlaan 2 NL - 2280 HV Rijswijk Tel. (+31-70) 340-2040, Tx. 31 651 epo nl. Fax: (+31-70) 340-3016	Authorized officer  Hardell, Alexander	

## INTERNATIONAL SEARCH REPORT

International application No PCT/US2007/003871
---

C(Continuation). DOCUMENTS CONSIDERED TO BE RELEVANT

Category*	Citation of document, with indication, where appropriate, of the relevant passages	Relevant to claim No.
X	WEI-LING CHU ET AL: "ColorSync: synchronizing the color behavior of your devices" DIGEST OF PAPERS OF COMPCON (COMPUTER SOCIETY CONFERENCE) 1996 TECHNOLOGIES FOR THE INFORMATION SUPERHIGHWAY. SANTA CLARA, FEB. 25 - 28, 1996, DIGEST OF PAPERS OF THE COMPUTER SOCIETY COMPUTER CONFERENCE COMPON, LOS ALAMITOS, IEEE COMP. SOC. PRESS,, vol. CONF. 41, 25 February 1996 (1996-02-25), pages 440-444, XP010160934 ISBN: 0-8186-7414-8 Sections 2.3 and 3.2	1,14,27
Y		2-7, 9-13, 15-20, 22-26, 28-31, 33,34
Y	BRAUN G J ET AL: "GAMUT MAPPING FOR PICTORIAL IMAGES" TAGA PROCEEDINGS, XX, XX, 1999, pages 645-660, XP008078676  Page 646 "Gamut Mapping Algorithms / Lightness scaling", page 649 "Color spaces for gamut mapping".	2-7, 9-13, 15-20, 22-26, 28-31, 33,34
X	EP 1 298 917 A (FUJIFILM ELECTRONIC IMAGING LT [GB]) 2 April 2003 (2003-04-02) paragraphs [0017] - [0025]	1,14,27
A	US 2003/184779 A1 (OHGA MANABU [JP]) 2 October 2003 (2003-10-02) paragraphs [0002] - [0004]; figure 1 paragraphs [0051] - [0072]	1-34
A	JOHN NATE: "Black point compensation: Thumbs up or down ?" THE INTERNATIONAL JOURNAL OF NEWSPAPER TECHNOLOGY, [Online] May 2004 (2004-05), XP002443357 Retrieved from the Internet: URL:www.newsandtech.com/issues/2004/05-04/ pt/05-04_blackpoint.htm> [retrieved on 2007-07-17] the whole document	1-34

**INTERNATIONAL SEARCH REPORT**

Information on patent family members

International application No  
PCT/US2007/003871

Patent document cited in search report	Publication date		Patent family member(s)	Publication date
EP 1298917 A	02-04-2003	JP US	2003187237 A 2003059109 A1	04-07-2003 27-03-2003
US 2003184779 A1	02-10-2003	JP	2003298865 A	17-10-2003

---

## フロントページの続き

(81)指定国 AP(BW,GH,GM,KE,LS,MW,MZ,NA,SD,SL,SZ,TZ,UG,ZM,ZW),EA(AM,AZ,BY,KG,KZ,MD,RU,TJ,TM),EP(AT,BE,BG,CH,CY,CZ,DE,DK,EE,ES,FI,FR,GB,GR,HU,IE,IS,IT,LT,LU,LV,MC,NL,PL,PT,RO,SE,SI,SK,TR),OA(BF,BJ,CF,CG,CI,CM,GA,GN,GQ,GW,ML,MR,NE,SN,TD,TG),AE,AG,AL,AM,AT,AU,AZ,BA,BB,BG,BR,BW,BY,BZ,CA,CH,CN,CO,CR,CU,CZ,DE,DK,DM,DZ,EC,EE,EG,ES,FI,GB,GD,GE,GH,GM,GT,HN,HR,HU,ID,IL,IN,IS,JP,KE,KG,KM,KN,KP,KR,KZ,L,A,LC,LK,LR,LS,LT,LU,LV,LY,MA,MD,MG,MK,MN,MW,MY,MZ,NA,NG,NI,NO,NZ,OM,PG,PH,PL,PT,RO,RS,RU,SC,SD,SE,SG,SK,SL,SM,SV,SY,TJ,TM,TN,TR,TT,TZ,UA,UG,US,UZ,VC,VN,ZA,ZM,ZW

(特許庁注：以下のものは登録商標)

- 1 . L i n u x
- 2 . M a c O S
- 3 . E E P R O M

F ターム(参考) 5C077 LL19 MP08 PP12 PP32 PP33 PP37  
5C079 HB01 HB03 HB12 LA03 LA26 LB02 NA03